# 近接爆発を受ける RC 梁の曲げ変形評価に関する基礎的検討

防衛大学校 学生会員 〇永田 真 正会員 別府 万寿博 市野 宏嘉

#### 1. 緒言

近年,爆破テロや爆発事故が世界的に増加しており, 構造物の合理的な耐爆設計法の確立が求められている. 構造物から十分に離れた位置で爆発が発生する場合は, 構造部材に等分布荷重が作用すると仮定した一質点系 モデルによる応答評価法が提案されている.しかし, 爆破テロのように構造物に近接した状態で爆発が生じ る場合は,検討例が少ないのが現状である.そこで本 研究は,RC 梁に対して爆薬形状の異なる近接爆発実験 を行い,爆薬形状が爆発荷重の分布特性および RC 梁の 破壊性状に与える影響について検討した.さらに,近 接爆発による分布荷重を考慮した RC 梁の曲げ変形評 価を行った.

### 2. 実験の概要および結果

図1に、実験の概要を示す. RC 梁の寸法は、梁幅120 mm、梁高180 mm、支点間距離1100 mmである. 軸方向鉄筋には降伏強度388 N/mm²のD10 異形鉄筋を用いた. コンクリートの圧縮強度およびヤング係数は27 N/mm²および33 kN/mm²である. 支点は、梁の回転を許容しピン支持に近い構造とした. 爆薬には充填密度1.4 g/cm³のC4 爆薬を用いて、球形または直径および高さが等しい円柱形に成型し、RC 梁中央の上部に設置した. 計測については、RC 梁の直交方向で梁上縁と同じ高さに圧力センサを配置し、梁中央から100 mm間隔の位置に作用する圧力(反射圧)を計測した. また、梁中央の残留変位を計測した.表1に実験ケースを示す.

図 2 に、離隔距離 154 mm のケースにおける各計測位置の最大反射圧と力積の値を示す。RC 梁の中心部については、別途数値解析を行った値を示している。図から、いずれも梁中央からの距離が離れるにしたがい、最大反射圧および力積が減少する不均一な分布特性を示している。また、円柱形爆薬は球形爆薬と比べて、梁中央の位置における最大反射圧が約 5.5 倍、力積では約 2.8 倍の値を示すのに対して、端部側ではやや小さい値を示した。ここで、近接爆発による分布圧力を次式により近似した。

$$P(x) = P_m e^{-\frac{2\alpha_p}{L}x}$$
  $(0 \le x \le \frac{L}{2}, \ \alpha_p \ge 0)$  (1)

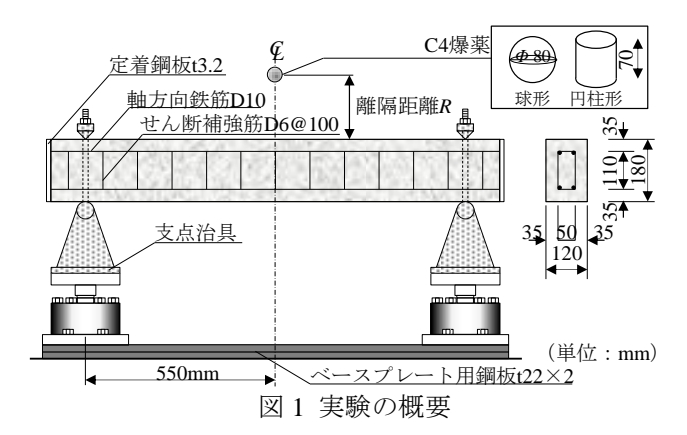


表1 実験ケース

番号	ケース	爆薬形状	C4爆薬量	離隔距離R			
1	S231	球形		231 mm			
2	C231	円柱形	275 a				
3	S154	球形	375 g	154 mm			
4	C154	円柱形					

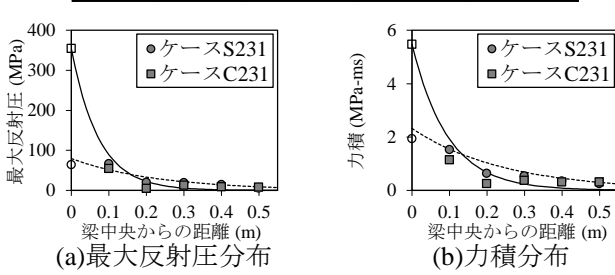


図 2 最大反射圧および力積分布の比較 (R=231 mm)

ここに、 $P_m$ は中心部における最大反射圧(MPa)、 $\alpha_p$ は圧力分布係数,Lは梁の支点間距離(m)、xは梁中央からの距離xにおける最大反射圧(MPa)を示す。なお,圧力分布係数 $\alpha_p$ は,球形爆薬に対しては爆薬量,離隔距離および部材長の関係から求めることができる $^{1)}$ . 一方,円柱形爆薬に対する圧力分布係数は定式化されていないため,数値解析で求めた梁中央部の最大反射圧および実験結果を台形積分して求めた最大反射圧の総和と,式(1)を積分した値が等しくなるよう圧力分布係数 $\alpha_p$ を決定した。図 2 に,近似式による結果を重ねて示す。

梁全体に作用する最大荷重  $F_t$ は、式(1)で得られる値を RC 梁上面の面積で積分することで求められる. 同様にして、単位面積あたりの力積(MPa-ms)の分布および梁全体に作用する全力積iが得られる. 表 2 に、各分布係数、RC 梁に作用する最大荷重  $F_t$ および全力積i の推定値を示す.

キーワード 近接爆発,爆薬形状,分布荷重,RC梁,曲げ変形評価

連絡先 〒239-8686 横須賀市走水 1-10-20 防衛大学校建設環境工学科 TEL:046-841-3810 E-mail:beppu@nda.ac.jp

表 3 に, 各ケースにおける RC 梁の破壊性状および残 留変位を示す.表から,同一の離隔距離では球形爆薬 に比べて円柱形爆薬を用いた方が RC 梁の残留変位が 大きいことがわかる. また, 離隔距離が 154 mm のケー スでは、円柱形爆薬によるケース C154 にのみ梁中央部 に局所的な破壊が確認された.

## 3. エネルギー基準による曲げ変形評価

近接爆発による分布荷重を考慮した RC 梁の残留変 位の評価法について検討する. RC 梁の応答は、図3に 示すように一質点系モデルを用いて解析した. 荷重~時 間関係は、図4に示す三角形パルスでモデル化し、RC 梁の抵抗関数は図5に示すバイリニア型とした. RC 梁 に瞬間的に作用する全力積 i による仕事が全て図5に示 す台形 OADC の面積で求まるひずみエネルギーに変換 されるとすると、残留変位  $\delta_{re}$  は次式から求められる.

$$\delta_{re} = \frac{i^2}{2K_{IM}MR_m} - \frac{R_m}{2K} \tag{2}$$

ここに、Mは RC 梁の質量、 $K_{LM}$ は荷重質量係数で、ケ ース S231, C231, S154, C154 に対してそれぞれ, 0.61, 0.51, 0.57, 0.51 である. ばね係数 K は式(1)に示す分布 荷重を考慮すると次式で表される.

$$K = \frac{96EI_i}{L^3} \cdot \frac{(1 - e^{-\alpha_p})\alpha_p^3}{(2\alpha_p^3 + 3e^{-\alpha_p}\alpha_p^2 - 6\alpha_p - 6e^{-\alpha_p} + 6)}$$
(3)

ここに、Eはコンクリートのヤング係数、 $I_i$ はコンクリ ートの引張域を無視した断面二次モーメントを示す. 最大抵抗力  $R_m$  は降伏モーメント  $M_p$  を用いて次式から 求めた.

$$R_{m} = \frac{4M_{p}}{L} \cdot \frac{(1 - e^{-\alpha_{p}})\alpha_{p}}{\alpha_{p} + e^{-\alpha_{p}} - 1}$$
 (4)

表 2 および表 3 から,ケース C231 と比較して S154 の全力積 i が大きいにも関わらず残留変位が減少して いる. これは、圧力分布係数  $\alpha_p$  の差異により、S154 に おいて式(4)に示す最大抵抗力 $R_m$ が増加したためと考え られる.

図 6 に、実験で得られた残留変位と式(3)を用いて求 めた結果を比較して示す. エネルギー基準による解析 結果をみると、実験ケース C154 において最大約 50%の 誤差が生じているが、全体的にある程度再現すること ができた.

### 4. 結言

本研究は、RC 梁に対して爆薬形状の異なる近接爆発 実験を行い、爆薬形状が爆発荷重の分布特性および RC

表 2 爆発荷重の推定値

ケース	圧力分布係数	力積分布係数	最大荷重	全力積
クース	$\alpha_p$	$\alpha_i$	$F_t(kN)$	i (kN-ms)
S231	2.40	2.24	3,940	123
C231	7.60	4.76	5,290	139
S154	3.52	3.85	5,330	150
C154	8.22	7.69	6,700	185

表 3 破壊性状および残留変位

工工工工工工工工工工工工工工工工工工工工工工工工工工工工工工工工工工工工工工						
ケース	破壊性状	残留変位				
S231 (球形)		1.0 mm				
C231 (円柱形)		6.0 mm				
S154 (球形)	<b>新发展</b>	3.5 mm				
C154 (円柱形)		8.0 mm				

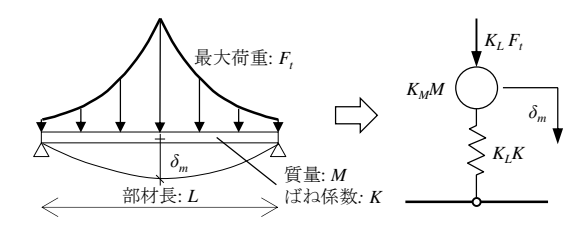
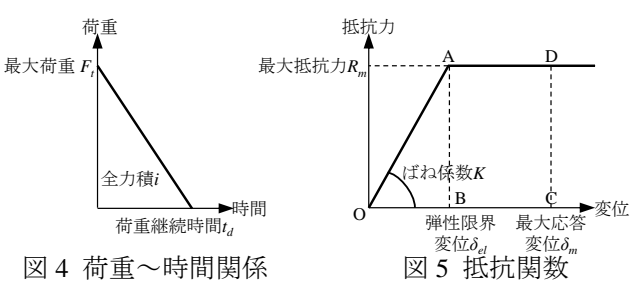
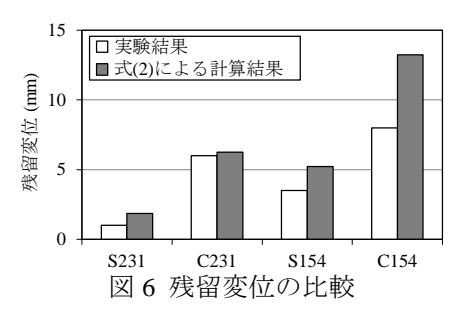


図3 一質点系モデルの概要





梁の破壊性状に与える影響について検討したものであ る. また, 近接爆発による分布荷重を考慮した RC 梁の 曲げ変形評価を行った. 実験の結果, 円柱形爆薬では 球形爆薬と比べて RC 梁中央に作用する荷重が大きく, RC 梁の残留変位も増加することがわかった。また、分 布荷重を考慮した曲げ変形評価モデルを用いて、RC 梁 の残留変位をある程度再現できることがわかった.

### 参考文献

1) 永田真, 別府万寿博, 市野宏嘉, 近接爆発による爆 風圧分布特性の評価に関する基礎的研究,第44回土木 学会関東支部技術研究発表会梗概集, I-25, 2017.